



NetWorks Sp. z o.o.
Laboratorium Badań Środowiskowych
ul. Józefa Piłsudskiego 3
00-728 Warszawa
e-mail: Laboratorium@networks.pl



AB 419

S P R A W O Z D A N I E 2654/2026/OS
Z POMIARÓW PÓL ELEKTROMAGNETYCZNYCH
WYKONANYCH DLA POTRZEB OCHRONY ŚRODOWISKA

Badany obiekt: Instalacja radiokomunikacyjna T-Mobile Polska S.A.

Numer i nazwa: 34025 (44025N!) GOL_OLSZTYN_ENERGIA

Adres: OLSZTYN, TRACKA 2, Powiat m. Olsztyn, WOJ. WARMIŃSKO-MAZURSKIE

Data wykonania pomiarów: 2026-04-28

Sprawozdanie z badań bez pisemnej zgody laboratorium nie może być powielane inaczej niż w całości.

Wyniki przedstawione w niniejszym sprawozdaniu odnoszą się wyłącznie do badanego obiektu i do warunków i konfiguracji urządzeń w dniu wykonywania pomiarów.

1. Właściciel badanego obiektu:

T-Mobile Polska S.A., ul. Marynarska 12, 02-674 Warszawa

2. Zleceniodawca:

T-Mobile Polska S.A., ul. Marynarska 12, 02-674 Warszawa

3. Przedstawiciel zleceniodawcy:

NetWorks Sp. z o.o.

4. Zakres zlecenia:

Wykonanie badania i opracowanie sprawozdania z pomiarów natężenia pola elektrycznego i pola magnetycznego dla instalacji radiokomunikacyjnej T-Mobile Polska S.A. zlokalizowanej w miejscowości OLSZTYN, TRACKA 2.

5. Cel zlecenia:

Wykonanie pomiarów pól elektromagnetycznych w otoczeniu instalacji radiokomunikacyjnej 34025 (44025N!) GOL_OLSZTYN_ENERGIA w odniesieniu do wymagań określonych w *Rozporządzeniu Ministra Klimatu z dnia 17 lutego 2020 r. w sprawie sposobów sprawdzania dotrzymania dopuszczalnych poziomów pól elektromagnetycznych w środowisku (Dz.U. 2022 poz. 2630)*.

6. Pomiary zostały wykonane przez:**7. Informacje o źródłach pól elektromagnetycznych****7.1. Sposób identyfikacji badanych źródeł pól elektromagnetycznych**

Identyfikacji źródeł i parametrów technicznych dokonano na podstawie analizy dokumentacji dotyczącej zlecenia oraz obserwacji miejsca wykonywania badań.

7.2. Opis miejsca zainstalowania anten i urządzeń technicznych. Opis obiektu badań i jego otoczenia

Instalacja radiokomunikacyjna zlokalizowana jest na terenie ogrodzonym. Anteny zawieszono na wieży strunobetonowej. Urządzenia sterujące oraz zasilające zainstalowano w kontenerze u podstawy wieży. Wokół instalacji znajdują się tereny przemysłowe.

Instalacja radiokomunikacyjna jest obiektem bezobsługowym. Okresowe stanowiska pracy związane są z prowadzonymi w zależności od potrzeb konserwacjami, przeglądami, strojeniem i naprawami.

7.3. Parametry techniczne źródła pola elektromagnetycznego

Dane przedstawiające maksymalne parametry pracy instalacji przekazane przez zleceniodawcę:

Parametry systemu nadawczo-odbiorczego:

Charakterystyka promieniowania		Kierunkowa					
Rzeczywisty czas pracy [h/dobę]		24					
Warunki pracy		Znamionowe					
Rodzaj wytwarzanego pola		Stacjonarne					
Lp.	Częstotliwość lub zakresy częstotliwości pracy [MHz]	Typ/producent anteny	liczba anten	Azymut [°]	kąt pochylenia [°]	Wysokość środka elektrycznego anteny [m n.p.t]	Równoważna moc promieniowana izotropowo (EIRP) [W]
1	3600	AQQQ NSN	1	90	4-10**	58.2	47886
2	800/900/1800/2100/2600	ASI4518R10v18 Huawei	1	90	0-10**/0-10**/ 2-12**/2-12**/ 2-12**	61.3	28050
3	800/900/1800/2100/2600	ASI4518R39v07 Huawei	1	220	2-12**/2-12**/ 2-12**/2-12**/ 2-12**	31	30442
4	3600	AQQQ NSN	1	220	4-10**	31	47886
5	3600	AQQQ NSN	1	350	4-10**	58.2	47886
6	900/1800/2100	ATR4518R11v06 Huawei	1	350	0-10**/0-10**/ 0-10**	61.3	17965
7	800/2600	ATR4518R11v06 Huawei	1	350	0-10**/0-10**	61.3	13051

* wskazane wartości kąta pochylenia anten, zgodnie z informacją uzyskaną od zleceniodawcy, są wartościami stałymi
 ** pomiary wykonano zgodnie z pkt 13., ppkt 2 załącznika do Rozporządzenia Ministra Klimatu z dnia 17 lutego 2020 r. (Dz. U. 2022, poz. 2630).

Parametry radiolinii:

Charakterystyka promieniowania		kierunkowa					
Rzeczywisty czas pracy [h/dobę]		24					
Warunki pracy		znamionowe					
Rodzaj wytwarzanego pola		stacjonarne					
Lp.	Linia radiowa			Antena			
	Typ/ Producent	Częstotliwość pracy [GHz]	Równoważna moc promieniowana izotropowo (EIRP) [W]	Typ/ producent	Średnica anteny [m]	Azymut (°)	Wysokość zainstalowania n.p.t [m]
1.	NP ERICSSON ML 6363 23GHz 2x56MHz XPIC / NP ERICSSON ML 6352 R2+ 70/80GHz 250MHz Ericsson	23/80	2297/4266	ANT2/2_0.6 23/80 HPX/HP Ericsson	0.6	68	59
2.	NP ERICSSON RAU2X 23GHZ 2x28MHz XPIC / NP ERICSSON ML 6352/3 70/80GHz 500MHz Ericsson	23/80	1151/8512	ANT2/2_0.6 23/80 HPX/HP Ericsson	0.6	101	58
3.	WTM 3100 38GHz 14MHz Harris Stratex	38	182	VHLP1-38 Andrew	0.3	153	58
4.	ERICSSON CN510 6363 Ericsson	38	2	ANT3_0.3 38 HP/HPX Ericsson	0.3	166	58
5.	Ericsson Mini-Link 6352 Ericsson	80	80	ANT2_0.3 80 HP Ericsson	0.3	170	59

Sprawozdanie z badań bez pisemnej zgody laboratorium nie może być powielane inaczej niż w całości.

Wyniki przedstawione w niniejszym sprawozdaniu odnoszą się wyłącznie do badanego obiektu i do warunków i konfiguracji urządzeń w dniu wykonywania pomiarów.

Charakterystyka promieniowania			kierunkowa				
Rzeczywisty czas pracy [h/dobę]			24				
Warunki pracy			znamionowe				
Rodzaj wytwarzanego pola			stacjonarne				
Lp.	Linia radiowa			Antena			
	Typ/ Producent	Częstotliwość pracy [GHz]	Równoważna moc promieniowana izotropowo (EIRP) [W]	Typ/ producent	Średnica anteny [m]	Azymut (°)	Wysokość zainstalowania n.p.t [m]
6.	Ericsson CN510 RAU2X Ericsson	38	14	ANT2_0.3 38 HP Ericsson	0.3	170	59.3
7.	Ericsson CN510 RAU2X Ericsson	38	13	ANT2_0.3 38 HP Ericsson	0.3	174	31
8.	Ericsson CN510 RAU2X Ericsson	38	13	ANT2_0.3 38 HP Ericsson	0.3	192	58
9.	Ericsson CN510 RAU2X Ericsson	38	13	ANT2_0.3 38 HP Ericsson	0.3	197	58
10.	NEC iPasolink 100E	38	12	VHLP1-38 Andrew	0.3	199	58.5
11.	Ericsson CN510 RAU2X Ericsson	38	13	ANT2_0.3 38 HP Ericsson	0.3	203	58
12.	Ericsson CN510 RAU2X	38	13	ANT2_0.3 38 HP Ericsson	0.3	219	58
13.	NEC iPasolink 100E Ericsson	38	15	VHLP1-38 Ericsson	0.3	219	59.1
14.	ERICSSON 6651 6363 Ericsson	38	10	ANT3_0.3 38 HP/HPX Ericsson	0.3	227	58
15.	Ericsson CN510 RAU2X Ericsson	38	10	ANT2_0.3 38 HP Ericsson	0.3	228	59.1
16.	Ericsson CN510 RAU2X Ericsson	38	13	ANT2_0.3 38 HP Ericsson	0.3	233	58.9
17.	NEC iPasolink 100E	38	4	VHLP1-38 Andrew	0.3	246	58.1

7.4 Inne źródła pól elektromagnetycznych

Na podstawie informacji otrzymanych od użytkownika oraz obserwacji otoczenia miejsca wykonywania pomiarów stwierdzono występowanie innych źródeł pola-EM, pracujących w systemach: telefonii komórkowej (800MHz-3800MHz), linii radiowych (5GHz-90GHz), które istotnie wpływają na wyniki pomiarów.

8. Opis pomiarów

8.1. Metoda badań

Zgodna z rozporządzeniem Ministra Klimatu z dnia 17 lutego 2020 r. w sprawie sposobów sprawdzania dotrzymania dopuszczalnych poziomów pól elektromagnetycznych w środowisku (Dz.U. 2022 poz. 2630), określona w pkt 25 ppkt 1 załącznika do niniejszego rozporządzenia.

Sprawozdanie z badań bez pisemnej zgody laboratorium nie może być powielane inaczej niż w całości.

Wyniki przedstawione w niniejszym sprawozdaniu odnoszą się wyłącznie do badanego obiektu i do warunków i konfiguracji urządzeń w dniu wykonywania pomiarów.

8.2. Termin pomiarów i warunki środowiskowe

Podczas wykonywania pomiarów pól elektromagnetycznych nie występowały opady atmosferyczne. Wyniki pomiaru parametrów pogodowych przedstawia poniższa tabela:

Data [rrrr-mm-dd]	Godzina [hh:mm- hh:mm]	Warunki środowiskowe			
		Temperatura [°C]		Wilgotność względna [%]	
2026-04-28	13:15-14:45	Przed pomiarem	Po pomiarach	Przed pomiarem	Po pomiarach
				8.9	7.8

Przedstawione wyżej warunki środowiskowe, występujące podczas wykonywania pomiarów pól elektromagnetycznych, są zgodne ze specyfikacją techniczną użytego zestawu pomiarowego.

8.3. Warunki pracy urządzeń nadawczych

Podczas pomiarów w przypadku uzyskania wyniku pomiaru szerokopasmowego wykonanego zastosowaną metodą, dla zakresów częstotliwości od 10 MHz do 300 GHz, powiększonego o rozszerzoną niepewność pomiaru U dla współczynnika rozszerzenia $k = 2$ przekraczającego 70% najniższej dopuszczalnej wartości składowej elektrycznej lub magnetycznej pola dla objętych pomiarami zakresów częstotliwości, uwzględnia się poprawki pomiarowe przekazane przez zleceniodawcę, umożliwiające uwzględnienie maksymalnych parametrów pracy instalacji zgodnie z pkt 7 załącznika do Rozporządzeniem Ministra Klimatu z dnia 17 lutego 2020 r. w sprawie sposobów sprawdzania dotrzymania dopuszczalnych poziomów pól elektromagnetycznych w środowisku (Dz. U. 2022, poz. 2630) zaznaczając, że wymagane jest wykonanie pomiaru z wykorzystaniem miernika selektywnego. W przypadku uzyskania wyniku pomiaru szerokopasmowego wykonanego zastosowaną metodą, dla zakresów częstotliwości od 10 MHz do 300 GHz, powiększonego o rozszerzoną niepewność pomiaru U dla współczynnika rozszerzenia $k = 2$ nieprzekraczającego 70% najniższej dopuszczalnej wartości składowej elektrycznej lub magnetycznej pola dla objętych pomiarami zakresów częstotliwości, nie uwzględnia się poprawek pomiarowych.

8.4. Wyposażenie pomiarowe

Zestaw pomiarowy służący do pomiaru natężenia składowej elektrycznej pola elektromagnetycznego złożony z szerokopasmowego miernika i sondy pomiarowej:

Oznaczenie miernika	Producent	Model	Numer fabryczny	Oznaczenie sondy	Producent	Model	Numer fabryczny
MW-08	Wavecontrol	Miernik pól elektromagnetycznych SMP2	22SN2090	SW-15	Wavecontrol	Sonda WPF60	22WP230221

Mierniki natężenia pola elektromagnetycznego podlegają okresowemu sprawdzeniu zgodnie z procedurą wewnętrzną P-03 i PB-01. Świadectwo wzorcowania zestawu pomiarowego z dnia 8 listopada 2024 o numerze LWiMP/W/395/24 wydane przez Politechnika Wrocławską. Data następnego wzorcowania: 8 listopada 2026 (zgodnie z procedurą wewnętrzną P-03).

Oznaczenie miernika	Producent	Model	Numer fabryczny	Oznaczenie sondy	Producent	Model	Numer fabryczny
MW-08	Wavecontrol	Miernik pól elektromagnetycznych SMP2	22SN2090	SW-16	Wavecontrol	Sonda WPF3-HP	22WP030450

Mierniki natężenia pola elektromagnetycznego podlegają okresowemu sprawdzeniu zgodnie z procedurą wewnętrzną P-03 i PB-01. Świadectwo wzorcowania zestawu pomiarowego z dnia 8 listopada 2024 o numerze LWiMP/W/395/24 wydane przez Politechnika Wrocławską. Data następnego wzorcowania: 8 listopada 2026 (zgodnie z procedurą wewnętrzną P-03).

Termohigrometr:

Oznaczenie:	TH-24	Producent:	AZ INSTRUMENT CORP	Model:	Termohigrometr AZ8706
-------------	-------	------------	--------------------	--------	-----------------------

Data następnego wzorcowania: 3 sierpnia 2027 (zgodnie z procedurą wewnętrzną P-03).

Dalmierz:

Oznaczenie	Producent	Typ	Numer seryjny	Nr świadectwa wzorcowania	Data świadectwa wzorcowania
D-09	Leica	Dalmierz Leica Disto D510	1042956700	Z3- Z32.4180.182.2024.4196.3	8 stycznia 2025

Data następnego wzorcowania: 8 stycznia 2035 (zgodnie z procedurą wewnętrzną P-03).

Sprawozdanie z badań bez pisemnej zgody laboratorium nie może być powielane inaczej niż w całości.

Wyniki przedstawione w niniejszym sprawozdaniu odnoszą się wyłącznie do badanego obiektu i do warunków i konfiguracji urządzeń w dniu wykonywania pomiarów.

Odbiornik GNSS:

Odbiornik GNSS wbudowany w miernik natężenia pola elektromagnetycznego użyty podczas pomiarów	Producent	Model
	UBlox	MAX-M8Q

Odbiorniki podlegają okresowemu sprawdzeniu zgodnie z procedurą wewnętrzną P-03.

9. Wyniki pomiarów

Pomiary wykonano na terenach przeznaczonych pod zabudowę mieszkaniową w obszarze pomiarowym, w którym na podstawie uprzednio przeprowadzonych obliczeń (OOP* 710/2026/RP), stwierdzono występowanie w danych zakresach częstotliwości pól elektromagnetycznych o poziomach zbliżonych do poziomów dopuszczalnych, określonych w przepisach wydanych na podstawie art. 122 ust. 1 ustawy z dnia 27 kwietnia 2001 r. – Prawo ochrony środowiska.

*OOP - Obligatoryjny Obszar Pomiarowy - opracowanie przedstawia przewidywane rozkłady pól elektromagnetycznych w otoczeniu instalacji radiokomunikacyjnej.

Pole elektryczne

Nr pionu	Opis umiejscowienia pionu (punktu pomiarowego)	Wysokość pomiaru [m]	Zmierzona wartość natężenia pola elektrycznego E [V/m] ^{1,5}			Wartość natężenia pola elektrycznego powiększona o niepewność pomiaru ⁴ E [V/m]	Wskaźnikowa wartość poziomu emisji pól elektromagnetycznych WME ³	Współrzędne geograficzne pionu (punktu pomiarowego) ²
			Sonda SW-15	Sonda SW-16	Wartość			
1	DPP - w płaszczyźnie otworu okiennego mieszkania 2, piętro 1, Tracka 2a, Olsztyn	0.3-2.0	<1.0*	<1.0*	<1.0*	1.4	0.05	53°47'38.8" 20°31'54.5"
2	GKP w odległości poziomej 6m od anteny sektorowej az. 90°	0.3-2.0	<1.0*	<1.0*	<1.0*	1.4	0.05	53°47'39.8" 20°31'54.8"
3	GKP w odległości poziomej 55m od anteny sektorowej az. 90°	2.0	1.2	1.2	1.2	1.6	0.06	53°47'39.8" 20°31'57.4"
4	GKP w odległości poziomej 110m od anteny sektorowej az. 90°	2.0	1.1	1.1	1.1	1.5	0.05	53°47'39.8" 20°32'0.2"
5	GKP w odległości poziomej 52m od anteny radioliniowej az. 68°	2.0	1.1	1.1	1.1	1.5	0.05	53°47'40.6" 20°31'57.0"
6	GKP w odległości poziomej 54m od anteny radioliniowej az. 101°	2.0	1.2	1.2	1.2	1.6	0.06	53°47'39.5" 20°31'57.4"
7	PKP na az. 97° w odległości poziomej 48m od anteny sektorowej az. 90°	2.0	1.3	1.3	1.3	1.8	0.06	53°47'39.8" 20°31'57.0"

Sprawozdanie z badań bez pisemnej zgody laboratorium nie może być powielane inaczej niż w całości.

Wyniki przedstawione w niniejszym sprawozdaniu odnoszą się wyłącznie do badanego obiektu i do warunków i konfiguracji urządzeń w dniu wykonywania pomiarów.

8	PKP na az. 110° w odległości poziomej 55m od anteny sektorowej az. 90°	2.0	1.2	1.2	1.2	1.6	0.06	53°47'39.1" 20°31'57.4"
9	PKP na az. 125° w odległości poziomej 56m od anteny sektorowej az. 90°	2.0	1.1	1.1	1.1	1.5	0.05	53°47'38.8" 20°31'57.0"
10	PKP na az. 83° w odległości poziomej 52m od anteny sektorowej az. 90°	2.0	1.2	1.2	1.2	1.6	0.06	53°47'40.2" 20°31'57.4"
11	PKP na az. 70° w odległości poziomej 52m od anteny sektorowej az. 90°	2.0	1.1	1.1	1.1	1.5	0.05	53°47'40.6" 20°31'57.0"
12	PKP na az. 55° w odległości poziomej 51m od anteny sektorowej az. 90°	0.3-2.0	<1.0*	<1.0*	<1.0*	1.4	0.05	53°47'40.9" 20°31'56.6"
13	GKP w odległości poziomej 5m od anteny sektorowej az. 350°	0.3-2.0	<1.0*	<1.0*	<1.0*	1.4	0.05	53°47'40.2" 20°31'54.1"
14	GKP w odległości poziomej 56m od anteny sektorowej az. 350°	2.0	1.3	1.3	1.3	1.8	0.06	53°47'41.6" 20°31'53.4"
15	PKP na az. 330° w odległości poziomej 52m od anteny sektorowej az. 350°	0.3-2.0	<1.0*	<1.0*	<1.0*	1.4	0.05	53°47'41.3" 20°31'52.7"
16	PKP na az. 315° w odległości poziomej 52m od anteny sektorowej az. 350°	0.3-2.0	<1.0*	<1.0*	<1.0*	1.4	0.05	53°47'41.3" 20°31'52.3"
17	PKP na az. 343° w odległości poziomej 50m od anteny sektorowej az. 350°	2.0	1.2	1.2	1.2	1.6	0.06	53°47'41.6" 20°31'53.4"
18	PKP na az. 357° w odległości poziomej 48m od anteny sektorowej az. 350°	0.3-2.0	<1.0*	<1.0*	<1.0*	1.4	0.05	53°47'41.6" 20°31'54.1"
19	PKP na az. 10° w odległości poziomej 46m od anteny	2.0	1.3	1.3	1.3	1.8	0.06	53°47'41.3" 20°31'54.8"

Sprawozdanie z badań bez pisemnej zgody laboratorium nie może być powielane inaczej niż w całości.

Wyniki przedstawione w niniejszym sprawozdaniu odnoszą się wyłącznie do badanego obiektu i do warunków i konfiguracji urządzeń w dniu wykonywania pomiarów.

	sektorowej az. 350°							
20	PKP na az. 25° w odległości poziomej 33m od anteny sektorowej az. 350°	2.0	1.1	1.1	1.1	1.5	0.05	53°47'40.9" 20°31'54.8"
21	GKP w odległości poziomej 112m od anteny sektorowej az. 350°	0.3-2.0	<1.0*	<1.0*	<1.0*	1.4	0.05	53°47'43.4" 20°31'53.0"
22	GKP w odległości poziomej 4m od anteny sektorowej az. 220°	0.3-2.0	<1.0*	<1.0*	<1.0*	1.4	0.05	53°47'39.8" 20°31'54.1"
23	GKP w odległości poziomej 56m od anteny radioliniowej az. 219°	0.3-2.0	<1.0*	<1.0*	<1.0*	1.4	0.05	53°47'38.4" 20°31'52.0"
24	GKP w odległości poziomej 56m od anteny sektorowej az. 220°	0.3-2.0	<1.0*	<1.0*	<1.0*	1.4	0.05	53°47'38.4" 20°31'52.3"
25	GKP w odległości poziomej 58m od anteny radioliniowej az. 227°	0.3-2.0	<1.0*	<1.0*	<1.0*	1.4	0.05	53°47'38.8" 20°31'52.0"
26	GKP w odległości poziomej 39m od anteny radioliniowej az. 228°	0.3-2.0	<1.0*	<1.0*	<1.0*	1.4	0.05	53°47'39.1" 20°31'52.3"
27	GKP w odległości poziomej 51m od anteny radioliniowej az. 233°	0.3-2.0	<1.0*	<1.0*	<1.0*	1.4	0.05	53°47'38.8" 20°31'52.0"
28	GKP w odległości poziomej 54m od anteny radioliniowej az. 246°	0.3-2.0	<1.0*	<1.0*	<1.0*	1.4	0.05	53°47'39.1" 20°31'51.2"
29	GKP w odległości poziomej 58m od anteny radioliniowej az. 203°	0.3-2.0	<1.0*	<1.0*	<1.0*	1.4	0.05	53°47'38.0" 20°31'52.7"
30	GKP w odległości poziomej 55m od anteny radioliniowej az. 199°	0.3-2.0	<1.0*	<1.0*	<1.0*	1.4	0.05	53°47'38.0" 20°31'53.0"
31	PKP na az. 227° w odległości poziomej 54m od anteny sektorowej az. 220°	0.3-2.0	<1.0*	<1.0*	<1.0*	1.4	0.05	53°47'38.8" 20°31'52.0"

Sprawozdanie z badań bez pisemnej zgody laboratorium nie może być powielane inaczej niż w całości.

Wyniki przedstawione w niniejszym sprawozdaniu odnoszą się wyłącznie do badanego obiektu i do warunków i konfiguracji urządzeń w dniu wykonywania pomiarów.

32	PKP na az. 240° w odległości poziomej 56m od anteny sektorowej az. 220°	0.3-2.0	<1.0*	<1.0*	<1.0*	1.4	0.05	53°47'38.8" 20°31'51.6"
33	PKP na az. 255° w odległości poziomej 56m od anteny sektorowej az. 220°	0.3-2.0	<1.0*	<1.0*	<1.0*	1.4	0.05	53°47'39.5" 20°31'51.2"
34	PKP na az. 213° w odległości poziomej 56m od anteny sektorowej az. 220°	0.3-2.0	<1.0*	<1.0*	<1.0*	1.4	0.05	53°47'38.4" 20°31'52.7"
35	PKP na az. 200° w odległości poziomej 53m od anteny sektorowej az. 220°	0.3-2.0	<1.0*	<1.0*	<1.0*	1.4	0.05	53°47'38.0" 20°31'53.0"
36	GKP w odległości poziomej 54m od anteny radioliniowej az. 192°	2.0	1.1	1.1	1.1	1.5	0.05	53°47'38.0" 20°31'53.4"
37	GKP w odległości poziomej 51m od anteny radioliniowej az. 197°	2.0	1.0	1.0	1.0	1.4	0.05	53°47'38.4" 20°31'53.4"
38	PKP na az. 185° w odległości poziomej 56m od anteny sektorowej az. 220°	0.3-2.0	<1.0*	<1.0*	<1.0*	1.4	0.05	53°47'38.0" 20°31'53.8"
39	GKP w odległości poziomej 55m od anteny radioliniowej az. 174°	0.3-2.0	<1.0*	<1.0*	<1.0*	1.4	0.05	53°47'38.0" 20°31'54.5"
40	GKP w odległości poziomej 55m od anteny radioliniowej az. 170°	0.3-2.0	<1.0*	<1.0*	<1.0*	1.4	0.05	53°47'38.0" 20°31'54.8"
41	GKP w odległości poziomej 51m od anteny radioliniowej az. 166°	0.3-2.0	<1.0*	<1.0*	<1.0*	1.4	0.05	53°47'38.0" 20°31'54.8"
42	GKP w odległości poziomej 54m od anteny radioliniowej az. 153°	0.3-2.0	<1.0*	<1.0*	<1.0*	1.4	0.05	53°47'38.0" 20°31'55.6"
43	GKP w odległości poziomej 112m od anteny	0.3-2.0	<1.0*	<1.0*	<1.0*	1.4	0.05	53°47'37.0" 20°31'50.2"

Sprawozdanie z badań bez pisemnej zgody laboratorium nie może być powielane inaczej niż w całości.

Wyniki przedstawione w niniejszym sprawozdaniu odnoszą się wyłącznie do badanego obiektu i do warunków i konfiguracji urządzeń w dniu wykonywania pomiarów.

	sektorowej az. 220°							
-	GKP w odległości poziomej 173m od anteny sektorowej az. 220°	0.3-2.0	<1.0*	<1.0*	<1.0*	1.4	0.05	53°47'35.5" 20°31'48.0"
-	GKP w odległości poziomej 420m od anteny sektorowej az. 350°	2.0	1.4	1.4	1.4	1.9	0.07	53°47'53.5" 20°31'50.2"
-	GKP w odległości poziomej 443m od anteny sektorowej az. 90°	0.3-2.0	<1.0*	<1.0*	<1.0*	1.4	0.05	53°47'39.8" 20°32'18.6"

Pole magnetyczne (wyznaczone na podstawie pomiaru wartości natężenia pola elektrycznego)

Nr pionu	Opis umiejscowienia pionu (punktu pomiarowego)	Wysokość pomiaru [m]	Wartość natężenia pola magnetycznego H [A/m] ¹			Wartość natężenia pola magnetycznego powiększona o niepewność pomiaru ⁴ H [A/m]	Wskaźnikowa wartość poziomu emisji pól elektromagnetycznych WM _H ³	Współrzędne geograficzne pionu (punktu pomiarowego) ²
			Sonda SW-15	Sonda SW-16	Wartość			
1	DPP - w płaszczyźnie otworu okiennego mieszkania 2, piętro 1, Tracka 2a, Olsztyn	0.3-2.0	<0.003*	<0.003*	<0.003*	0.004	0.05	53°47'38.8" 20°31'54.5"
2	GKP w odległości poziomej 6m od anteny sektorowej az. 90°	0.3-2.0	<0.003*	<0.003*	<0.003*	0.004	0.05	53°47'39.8" 20°31'54.8"
3	GKP w odległości poziomej 55m od anteny sektorowej az. 90°	2.0	0.003	0.003	0.003	0.004	0.06	53°47'39.8" 20°31'57.4"
4	GKP w odległości poziomej 110m od anteny sektorowej az. 90°	2.0	0.003	0.003	0.003	0.004	0.05	53°47'39.8" 20°32'0.2"
5	GKP w odległości poziomej 52m od anteny radioliniowej az. 68°	2.0	0.003	0.003	0.003	0.004	0.05	53°47'40.6" 20°31'57.0"
6	GKP w odległości poziomej 54m od anteny radioliniowej az. 101°	2.0	0.003	0.003	0.003	0.004	0.06	53°47'39.5" 20°31'57.4"
7	PKP na az. 97° w odległości poziomej 48m od anteny	2.0	0.003	0.003	0.003	0.005	0.06	53°47'39.8" 20°31'57.0"

Sprawozdanie z badań bez pisemnej zgody laboratorium nie może być powielane inaczej niż w całości.

Wyniki przedstawione w niniejszym sprawozdaniu odnoszą się wyłącznie do badanego obiektu i do warunków i konfiguracji urządzeń w dniu wykonywania pomiarów.

	sektorowej az. 90°							
8	PKP na az. 110° w odległości poziomej 55m od anteny sektorowej az. 90°	2.0	0.003	0.003	0.003	0.004	0.06	53°47'39.1" 20°31'57.4"
9	PKP na az. 125° w odległości poziomej 56m od anteny sektorowej az. 90°	2.0	0.003	0.003	0.003	0.004	0.05	53°47'38.8" 20°31'57.0"
10	PKP na az. 83° w odległości poziomej 52m od anteny sektorowej az. 90°	2.0	0.003	0.003	0.003	0.004	0.06	53°47'40.2" 20°31'57.4"
11	PKP na az. 70° w odległości poziomej 52m od anteny sektorowej az. 90°	2.0	0.003	0.003	0.003	0.004	0.05	53°47'40.6" 20°31'57.0"
12	PKP na az. 55° w odległości poziomej 51m od anteny sektorowej az. 90°	0.3-2.0	<0.003*	<0.003*	<0.003*	0.004	0.05	53°47'40.9" 20°31'56.6"
13	GKP w odległości poziomej 5m od anteny sektorowej az. 350°	0.3-2.0	<0.003*	<0.003*	<0.003*	0.004	0.05	53°47'40.2" 20°31'54.1"
14	GKP w odległości poziomej 56m od anteny sektorowej az. 350°	2.0	0.003	0.003	0.003	0.005	0.06	53°47'41.6" 20°31'53.4"
15	PKP na az. 330° w odległości poziomej 52m od anteny sektorowej az. 350°	0.3-2.0	<0.003*	<0.003*	<0.003*	0.004	0.05	53°47'41.3" 20°31'52.7"
16	PKP na az. 315° w odległości poziomej 52m od anteny sektorowej az. 350°	0.3-2.0	<0.003*	<0.003*	<0.003*	0.004	0.05	53°47'41.3" 20°31'52.3"
17	PKP na az. 343° w odległości poziomej 50m od anteny sektorowej az. 350°	2.0	0.003	0.003	0.003	0.004	0.06	53°47'41.6" 20°31'53.4"
18	PKP na az. 357° w odległości poziomej 48m od anteny sektorowej az. 350°	0.3-2.0	<0.003*	<0.003*	<0.003*	0.004	0.05	53°47'41.6" 20°31'54.1"
19	PKP na az. 10° w odległości poziomej 46m od anteny sektorowej az. 350°	2.0	0.003	0.003	0.003	0.005	0.06	53°47'41.3" 20°31'54.8"
20	PKP na az. 25° w odległości poziomej 33m	2.0	0.003	0.003	0.003	0.004	0.05	53°47'40.9" 20°31'54.8"

Sprawozdanie z badań bez pisemnej zgody laboratorium nie może być powielane inaczej niż w całości.

Wyniki przedstawione w niniejszym sprawozdaniu odnoszą się wyłącznie do badanego obiektu i do warunków i konfiguracji urządzeń w dniu wykonywania pomiarów.

	od anteny sektorowej az. 350°							
21	GKP w odległości poziomej 112m od anteny sektorowej az. 350°	0.3-2.0	<0.003*	<0.003*	<0.003*	0.004	0.05	53°47'43.4" 20°31'53.0"
22	GKP w odległości poziomej 4m od anteny sektorowej az. 220°	0.3-2.0	<0.003*	<0.003*	<0.003*	0.004	0.05	53°47'39.8" 20°31'54.1"
23	GKP w odległości poziomej 56m od anteny radioliniowej az. 219°	0.3-2.0	<0.003*	<0.003*	<0.003*	0.004	0.05	53°47'38.4" 20°31'52.0"
24	GKP w odległości poziomej 56m od anteny sektorowej az. 220°	0.3-2.0	<0.003*	<0.003*	<0.003*	0.004	0.05	53°47'38.4" 20°31'52.3"
25	GKP w odległości poziomej 58m od anteny radioliniowej az. 227°	0.3-2.0	<0.003*	<0.003*	<0.003*	0.004	0.05	53°47'38.8" 20°31'52.0"
26	GKP w odległości poziomej 39m od anteny radioliniowej az. 228°	0.3-2.0	<0.003*	<0.003*	<0.003*	0.004	0.05	53°47'39.1" 20°31'52.3"
27	GKP w odległości poziomej 51m od anteny radioliniowej az. 233°	0.3-2.0	<0.003*	<0.003*	<0.003*	0.004	0.05	53°47'38.8" 20°31'52.0"
28	GKP w odległości poziomej 54m od anteny radioliniowej az. 246°	0.3-2.0	<0.003*	<0.003*	<0.003*	0.004	0.05	53°47'39.1" 20°31'51.2"
29	GKP w odległości poziomej 58m od anteny radioliniowej az. 203°	0.3-2.0	<0.003*	<0.003*	<0.003*	0.004	0.05	53°47'38.0" 20°31'52.7"
30	GKP w odległości poziomej 55m od anteny radioliniowej az. 199°	0.3-2.0	<0.003*	<0.003*	<0.003*	0.004	0.05	53°47'38.0" 20°31'53.0"
31	PKP na az. 227° w odległości poziomej 54m od anteny sektorowej az. 220°	0.3-2.0	<0.003*	<0.003*	<0.003*	0.004	0.05	53°47'38.8" 20°31'52.0"
32	PKP na az. 240° w odległości poziomej 56m od anteny sektorowej az. 220°	0.3-2.0	<0.003*	<0.003*	<0.003*	0.004	0.05	53°47'38.8" 20°31'51.6"
33	PKP na az. 255° w odległości	0.3-2.0	<0.003*	<0.003*	<0.003*	0.004	0.05	53°47'39.5" 20°31'51.2"

Sprawozdanie z badań bez pisemnej zgody laboratorium nie może być powielane inaczej niż w całości.

Wyniki przedstawione w niniejszym sprawozdaniu odnoszą się wyłącznie do badanego obiektu i do warunków i konfiguracji urządzeń w dniu wykonywania pomiarów.

	poziomej 56m od anteny sektorowej az. 220°							
34	PKP na az. 213° w odległości poziomej 56m od anteny sektorowej az. 220°	0.3-2.0	<0.003*	<0.003*	<0.003*	0.004	0.05	53°47'38.4" 20°31'52.7"
35	PKP na az. 200° w odległości poziomej 53m od anteny sektorowej az. 220°	0.3-2.0	<0.003*	<0.003*	<0.003*	0.004	0.05	53°47'38.0" 20°31'53.0"
36	GKP w odległości poziomej 54m od anteny radioliniowej az. 192°	2.0	0.003	0.003	0.003	0.004	0.05	53°47'38.0" 20°31'53.4"
37	GKP w odległości poziomej 51m od anteny radioliniowej az. 197°	2.0	0.003	0.003	0.003	0.004	0.05	53°47'38.4" 20°31'53.4"
38	PKP na az. 185° w odległości poziomej 56m od anteny sektorowej az. 220°	0.3-2.0	<0.003*	<0.003*	<0.003*	0.004	0.05	53°47'38.0" 20°31'53.8"
39	GKP w odległości poziomej 55m od anteny radioliniowej az. 174°	0.3-2.0	<0.003*	<0.003*	<0.003*	0.004	0.05	53°47'38.0" 20°31'54.5"
40	GKP w odległości poziomej 55m od anteny radioliniowej az. 170°	0.3-2.0	<0.003*	<0.003*	<0.003*	0.004	0.05	53°47'38.0" 20°31'54.8"
41	GKP w odległości poziomej 51m od anteny radioliniowej az. 166°	0.3-2.0	<0.003*	<0.003*	<0.003*	0.004	0.05	53°47'38.0" 20°31'54.8"
42	GKP w odległości poziomej 54m od anteny radioliniowej az. 153°	0.3-2.0	<0.003*	<0.003*	<0.003*	0.004	0.05	53°47'38.0" 20°31'55.6"
43	GKP w odległości poziomej 112m od anteny sektorowej az. 220°	0.3-2.0	<0.003*	<0.003*	<0.003*	0.004	0.05	53°47'37.0" 20°31'50.2"
-	GKP w odległości poziomej 173m od anteny sektorowej az. 220°	0.3-2.0	<0.003*	<0.003*	<0.003*	0.004	0.05	53°47'35.5" 20°31'48.0"
-	GKP w odległości poziomej 420m od anteny sektorowej az. 350°	2.0	0.004	0.004	0.004	0.005	0.07	53°47'53.5" 20°31'50.2"

Sprawozdanie z badań bez pisemnej zgody laboratorium nie może być powielane inaczej niż w całości.

Wyniki przedstawione w niniejszym sprawozdaniu odnoszą się wyłącznie do badanego obiektu i do warunków i konfiguracji urządzeń w dniu wykonywania pomiarów.

-	GKP w odległości poziomej 443m od anteny sektorowej az. 90°	0.3-2.0	<0.003*	<0.003*	<0.003*	0.004	0.05	53°47'39.8" 20°32'18.6"
---	---	---------	---------	---------	---------	-------	------	----------------------------

GKP – Główny Kierunek Pomiarowy

DPP – Dodatkowy Pion Pomiarowy

PKP – Pomocniczy Kierunek Pomiarowy

¹ wyniki oznaczone * są wynikami poniżej czułości zestawu pomiarowego i są wynikami spoza zakresu akredytacji. Do obliczenia wyniku skorygowanego przyjęto wartość skorelowaną z rzeczywistym wynikiem pomiaru - dolną granicę akredytowanego zakresu pomiarowego metody

² współrzędne geograficzne pozyskane metodą pomiaru bezpośredniego

³ do wyznaczenia wartości wskaźnikowej W_{ME} i W_{MH} przyjęto na podstawie uzgodnień z klientem oraz rozpoznania źródeł, jako wartości dopuszczalne pola elektrycznego i magnetycznego odpowiednio 28 V/m i 0,073 A/m.

⁴ do wyznaczenia niepewności dla wyników poniżej czułości zestawu pomiarowego, przyjęto niepewność dla minimalnej wartości z zakresu pomiarowego.

⁵ maksymalna wartość chwilowa

Niepewność oszacowano zgodnie z dokumentem P-03 „Procedura nadzoru nad wyposażeniem” w postaci niepewności rozszerzonej wynikającej z niepewności standardowej pomnożonej przez współczynnik rozszerzenia $k=2$.

Całkowita szacowana niepewność rozszerzona składowej E wynosi odpowiednio:

sonda SW-15: 35.1% dla częstotliwości do 4 GHz, sonda SW-16: 29.9% dla częstotliwości do 4 GHz

Pomiar wykonany metodą 2 sond, opisaną w artykule Medycyna Pracy 2015;66(5):701-712 „Optymalizacja metodyki pomiaru wieloczęstotliwościowego pola elektromagnetycznego stacji bazowych telefonii komórkowej”.

Umieszczenie pionów (punktów) pomiarowych przedstawiono w załączniku nr 2 do niniejszego sprawozdania.

10. Omówienie wyników pomiarów

W związku z tym, że żadna z wartości zmierzonych, udokumentowanych w tabelach w pkt. 9, uzyskanych w skutek zastosowania pomiaru szerokopasmowego, powiększonego o rozszerzoną niepewność pomiaru U dla współczynnika rozszerzenia $k = 2$ nie przekroczyła 70% najniższej dopuszczalnej wartości składowej elektrycznej lub magnetycznej pola dla objętych pomiarami zakresów częstotliwości, nie uwzględnia się poprawek pomiarowych.

W wyniku zastosowania sposobu sprawdzenia dotrzymania dopuszczalnych poziomów pól elektromagnetycznych w środowisku, zgodnie pkt 25 ppkt 1 Rozporządzenia Ministra Klimatu z dnia 17 lutego 2020 r. (Dz. U. 2022, poz. 2630), w związku z tym, że żadna z wartości wskaźnikowych, udokumentowanych w tabelach w pkt. 9 nie przekracza wartości 1, stwierdza się, że w miejscach, w których wykonano pomiary w otoczeniu instalacji radiokomunikacyjnej 34025 (44025N!) GOL_OLSZTYN_ENERGIA, dopuszczalne poziomy pól elektromagnetycznych w środowisku należy uznać za dotrzymane.

11. Podstawa prawna

- 1) Ustawa z dnia 27 kwietnia 2001 r. Prawo ochrony środowiska (T. j. Dz. U. z 2025 r., poz. 647 z późn. zm.)
- 2) Rozporządzenie Ministra Zdrowia z dnia 17 grudnia 2019 r. w sprawie dopuszczalnych poziomów pól elektromagnetycznych w środowisku (Dz. U. 2019, poz. 2448)
- 3) Rozporządzenie Ministra Klimatu z dnia 17 lutego 2020 r. w sprawie sposobów sprawdzania dotrzymania dopuszczalnych poziomów pól elektromagnetycznych w środowisku (Dz. U. 2022, poz. 2630),
- 4) Akredytacja nr AB 419 wydana przez Polskie Centrum Akredytacji (wydanie 24, z dnia 14 stycznia 2026r.)

12. Spis załączników

Załącznik 1. Lokalizacja obiektu badań

Załącznik 2. Usytuowanie pionów (punktów) pomiarowych

Załącznik 3. Dokumentacja fotograficzna obiektu badań

13. Data wydania i autoryzowania sprawozdania

Obliczenia i sprawozdanie wykonał :

Sprawozdanie autoryzował:



Signed by /
Podpisano przez:

Date / Data: 2026-
05-07 08:07

Koniec sprawozdania



Signed by /
Podpisano przez:

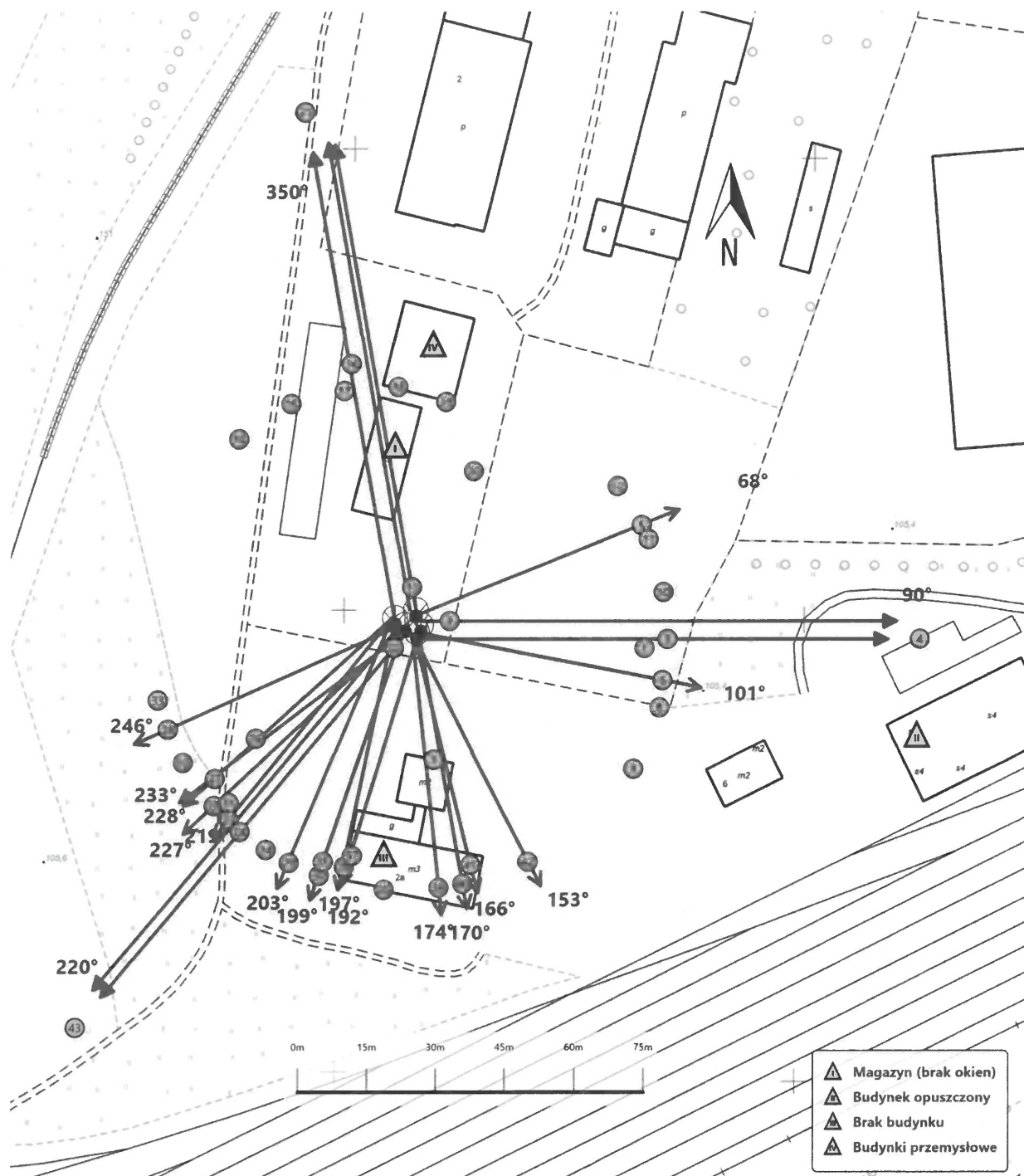
Date / Data:
2026-05-07 08:44






Sprawozdanie z badań bez pisemnej zgody laboratorium nie może być powielane inaczej niż w całości.

Wyniki przedstawione w niniejszym sprawozdaniu odnoszą się wyłącznie do badanego obiektu i do warunków i konfiguracji urządzeń w dniu wykonywania pomiarów.



Załącznik nr 1	Instalacja radiokomunikacyjna T-Mobile Polska S.A. 34025 (44025N!) GOL_OLSZTYN_ENERGIA Lokalizacja instalacji
----------------	---



<p>Załącznik nr 2</p>	<p>Instalacja radiokomunikacyjna T-Mobile Polska S.A. GOL_OLSZTYN_ENERGIA (44025N!) Usytuowanie pionów pomiarowych w otoczeniu instalacji radiokomunikacyjnej</p>
<p>Legenda:</p>	<p>  Źródło pola elektromagnetycznego  Brak dostępu  Pion pomiarowy  Kierunek oddziaływania anten sektorowych  Kierunek oddziaływania anten radioliniowych </p>



Załącznik nr 3

Instalacja radiokomunikacyjna T-Mobile Polska S.A.
34025 (44025N!) GOL_OLSZTYN_ENERGIA

Dokumentacja fotograficzna